

**Material suplementario de Lolich, Romero y Vázquez (2016)**

Lolich, M., Romero, E., & Vázquez, G. (2016). Temperamentos afectivos y edad de inicio en pacientes bipolares tipo II. *Revista de Psicología*, 25(1), 1-17.  
<http://dx.doi.org/10.5354/0719-0581.2016.41938>

**Material suplementario I: Gráficos orientativos y pruebas de normalidad de las variables**

Como puede observarse en la tabla MS1, dado que algunas de las variables utilizadas en los análisis secundarios no siguen una distribución normal y dado que estas son de conteo (cantidad de episodios depresivos e internaciones), se procedió a utilizar la metodología no paramétrica para la totalidad de las variables analizadas de modo bivariado, homogenizando el método de abordaje a costa de cierta pérdida de poder estadístico. Las variables relativas a los temperamentos afectivos dominantes, cantidad de episodios depresivos y cantidad de internaciones, no fueron sometidas a las pruebas de normalidad, dado que son dicotómicas o de conteo y su distribución es binomial o discreta.

Tabla MS1

*Pruebas de normalidad de las variables principales*

Variable	Kolmogorov-Smirnov	<i>p</i>	Shapiro-Wilk	<i>p</i>
Hipertímico	0,104	0,200	0,975	0,648
Depresivo	0,096	0,200	0,904	0,661
Ciclotímico	0,145	0,083	0,975	0,008
Irritable	0,150	0,065	0,938	0,155
Ansioso	0,150	0,065	0,951	0,000
Edad de Inicio	0,120	0,200	0,953	0,174

A continuación, se muestran los gráficos Q-Q normales para los puntajes de todas las escalas.

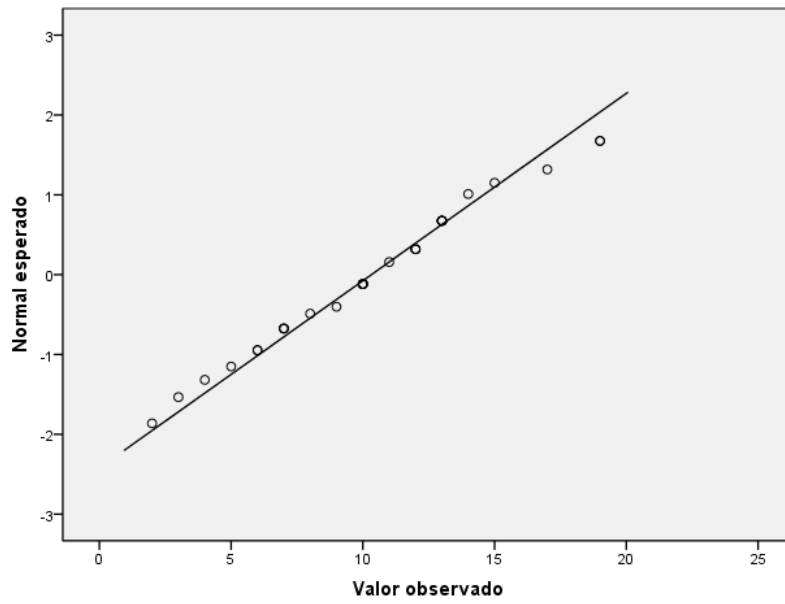


Figura MS1. Q-Q normal del temperamento hipertímico.

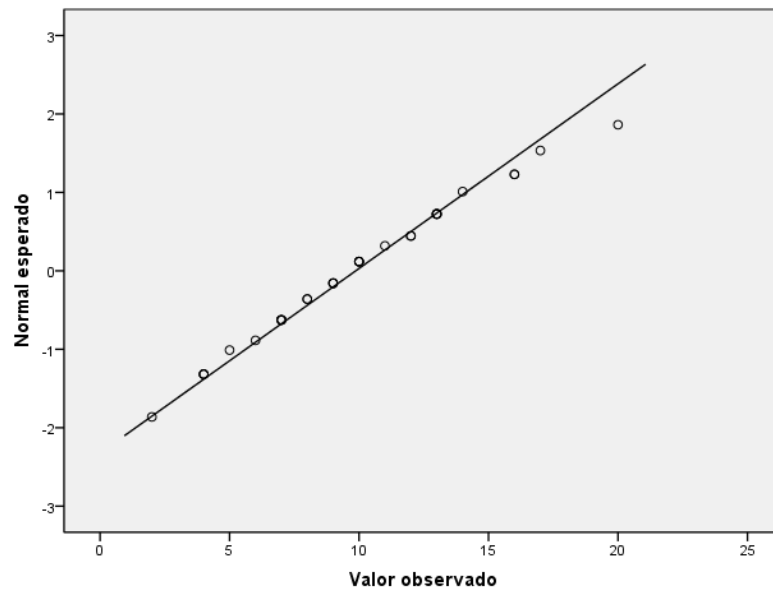


Figura MS2. Q-Q normal del temperamento distímico.

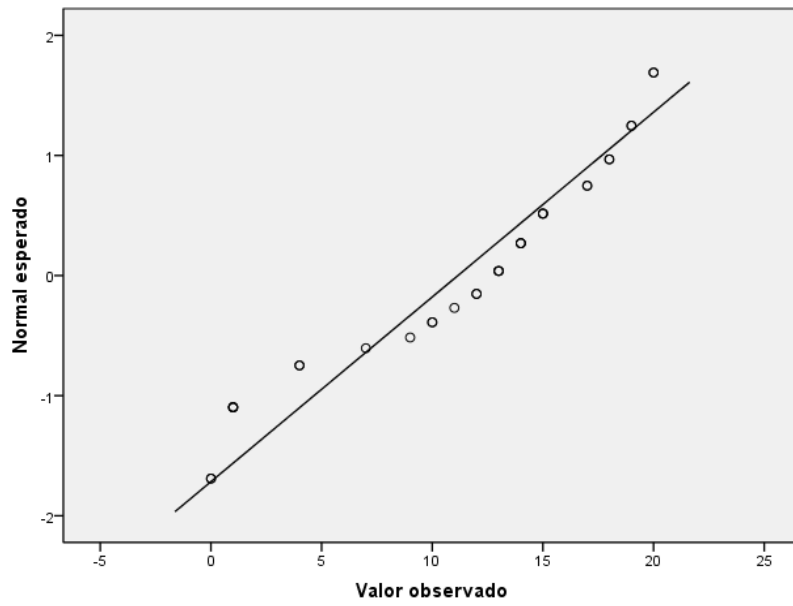


Figura MS3. Q-Q normal del temperamento ciclotímico.

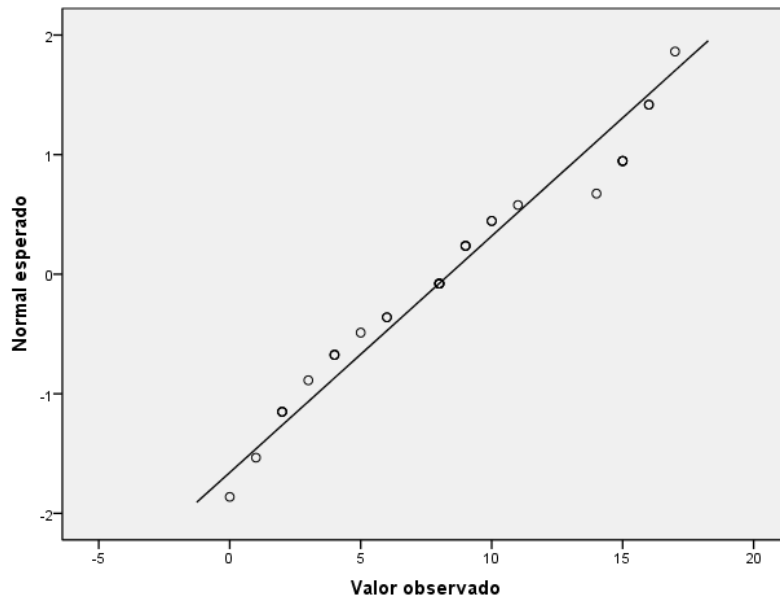


Figura MS4. Q-Q normal del temperamento irritable.

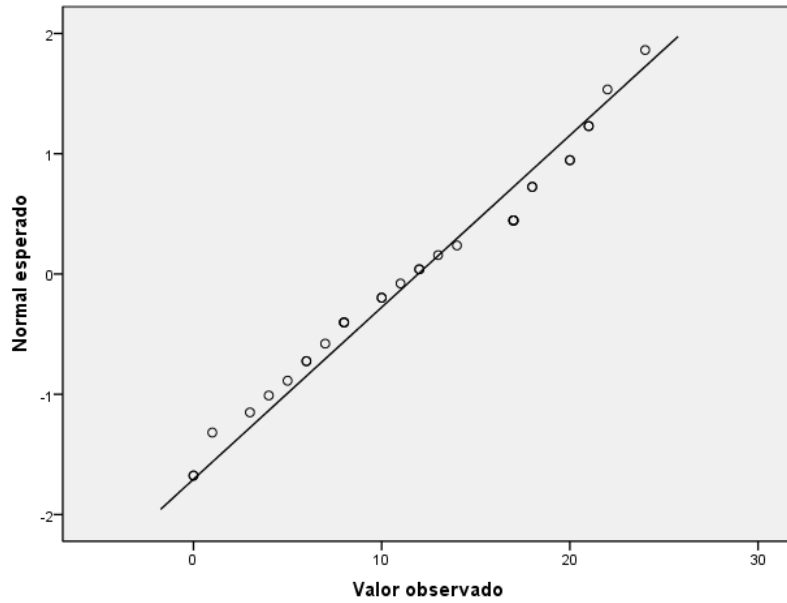


Figura MS5. Q-Q normal del temperamento ansioso.

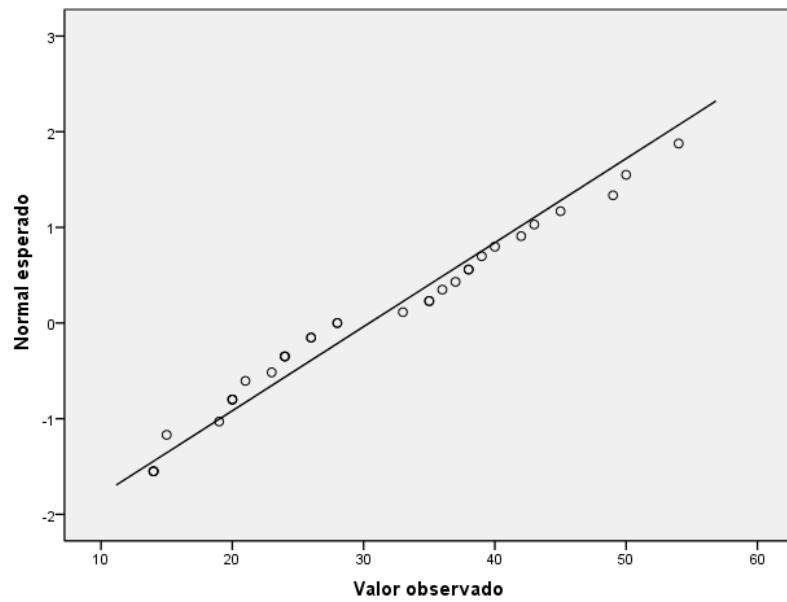


Figura MS6. Q-Q normal de edad de inicio.

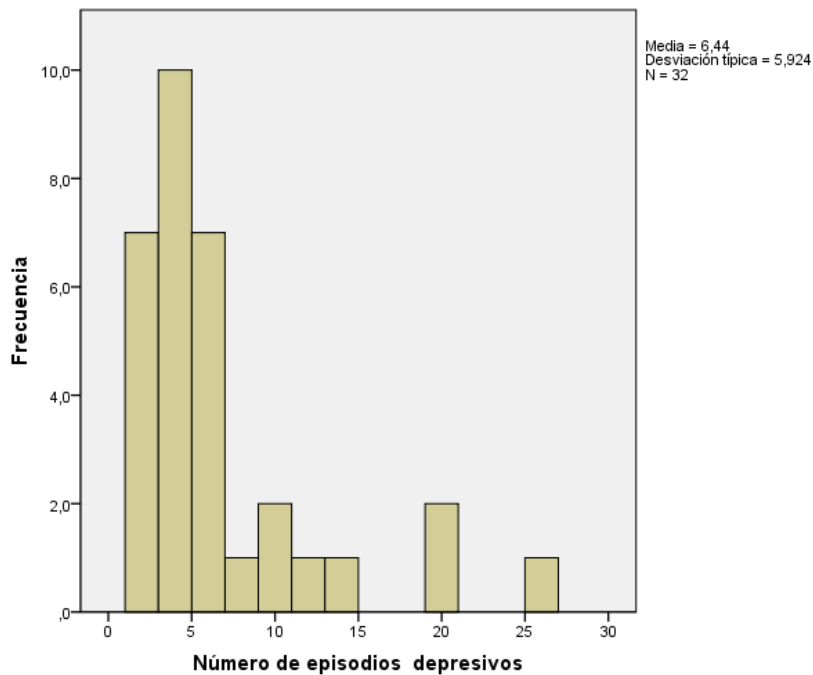


Figura MS7. Histograma episodios depresivos.

Como puede observarse en la figura MS7, algunos individuos presentaron más de 15 episodios depresivos. A modo exploratorio, se repitieron las correlaciones entre la edad de inicio y el número de episodios depresivos de excluirse de los análisis los casos, relativos a esta última variable, superiores a 15. Ninguna de dichas asociaciones resultó estadísticamente significativa.

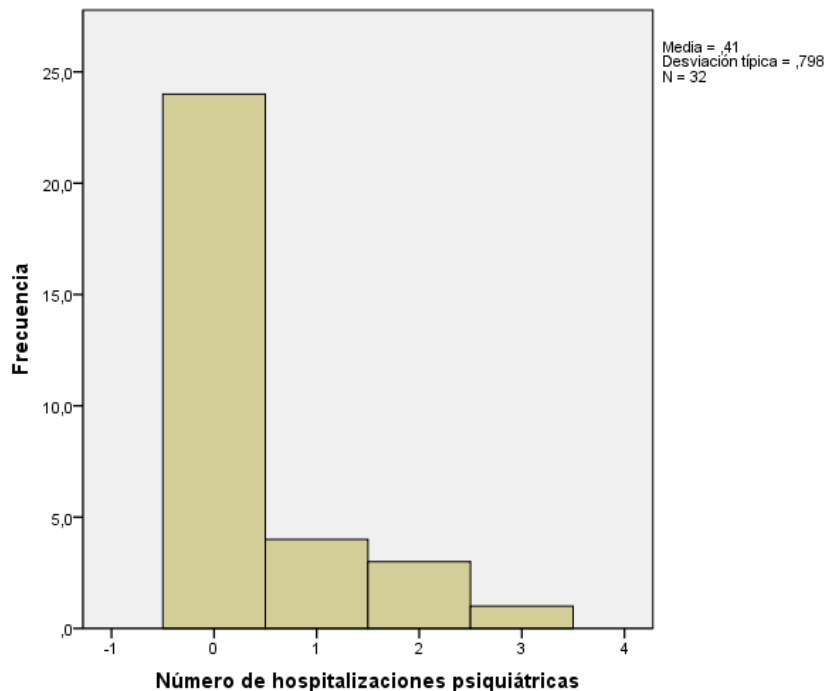
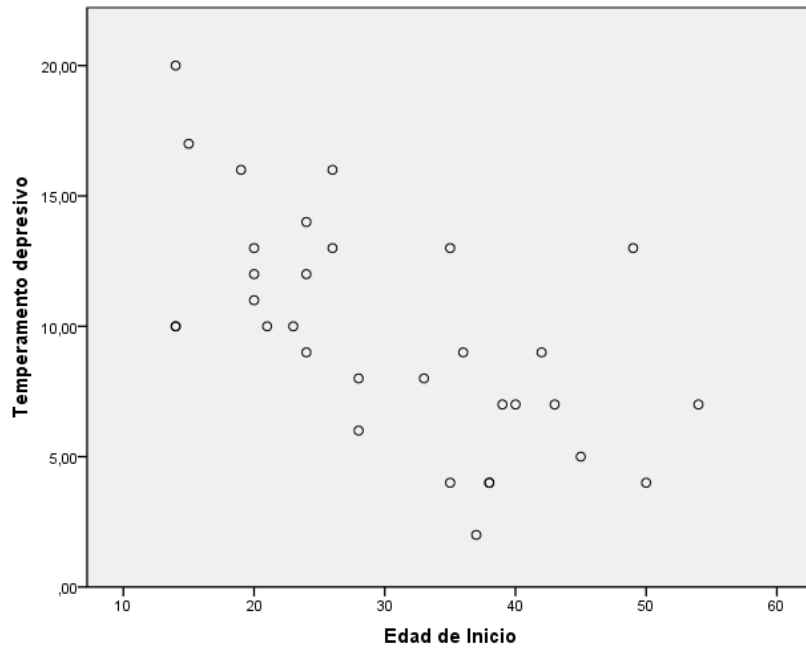
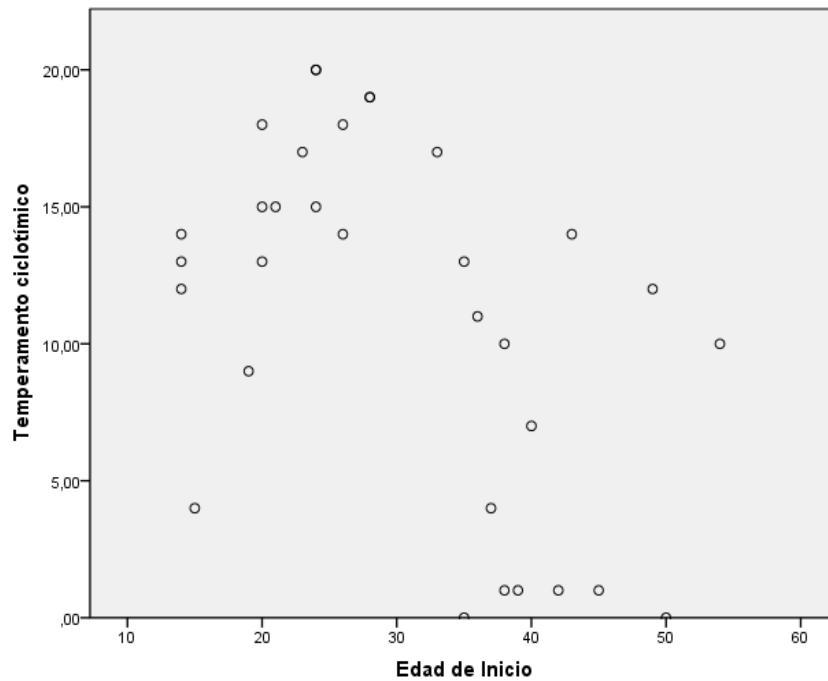


Figura MS8. Histograma hospitalizaciones psiquiátricas.

**Material suplementario II: Gráficos de dispersión de las asociaciones significativas presentadas en la tabla 2**



*Figura MS9.* Gráfico de dispersión de la edad de inicio y el temperamento depresivo.



*Figura MS10.* Gráfico de dispersión de la edad de inicio y el temperamento ciclotímico.

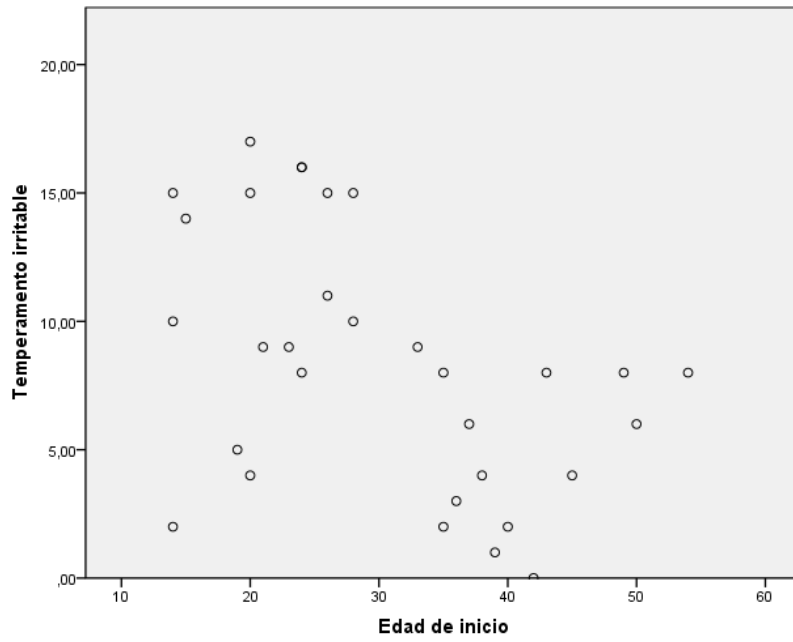


Figura MS11. Gráfico de dispersión de la edad de inicio y el temperamento irritable.

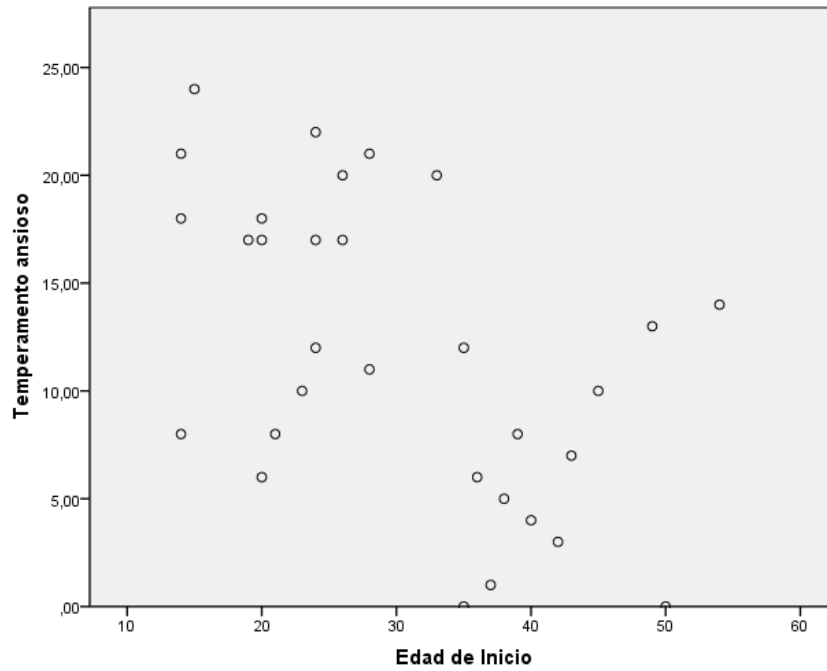


Figura MS12. Gráfico de dispersión de la edad de inicio y el temperamento ansioso.

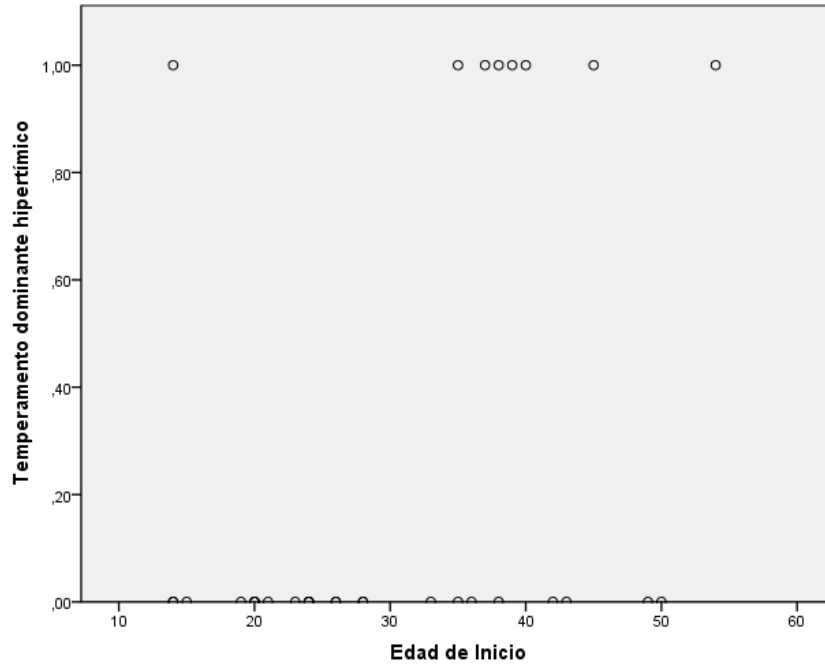


Figura MS13. Gráfico de dispersión de la edad de inicio y el temperamento dominante hipertímico.

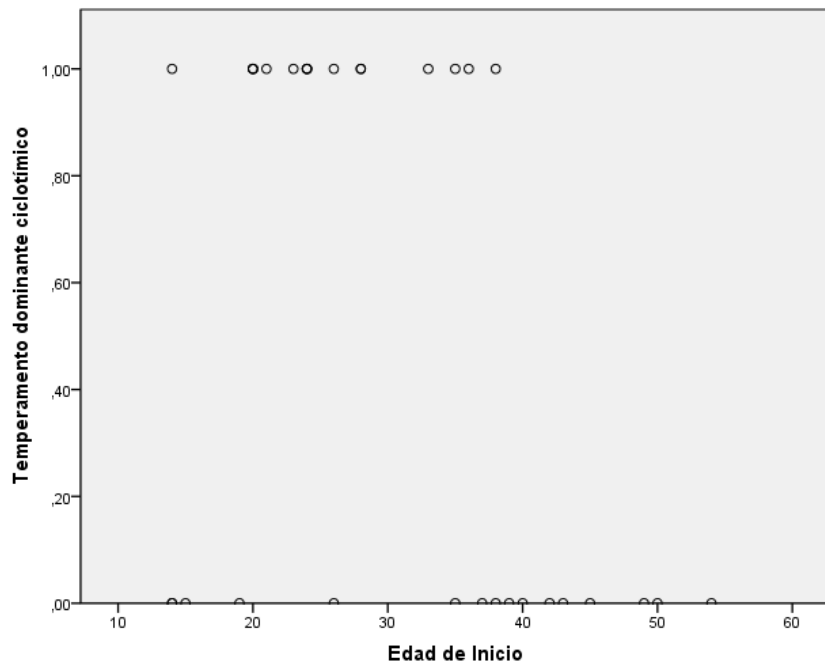
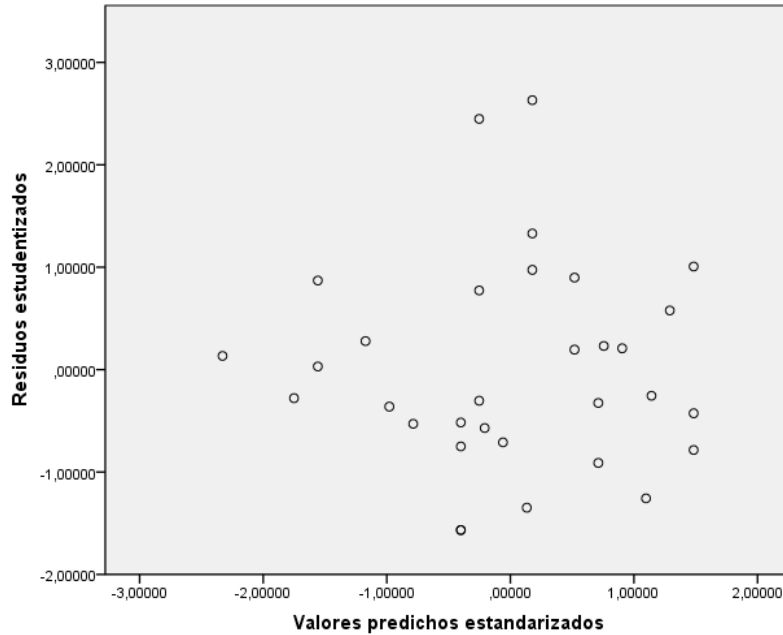


Figura MS14. Gráfico de dispersión de la edad de inicio y el temperamento dominante ciclotímico.



### Material suplementario III: Gráficos complementarios del cumplimiento de los supuestos en regresión lineal múltiple

A continuación, se muestran algunos gráficos complementarios respecto al cumplimiento de los supuestos de los modelos lineales multivariados. Estos incluyeron la edad de inicio como variable respuesta y los puntajes de las escalas temperamentales (distimia, ciclotimia, ansiedad e irritabilidad) y educación superior, expuestos en la tabla 4, como variables predictoras.



*Figura MS15.* Residuos estandarizados vs. predichos por el modelo de distimia y educación superior

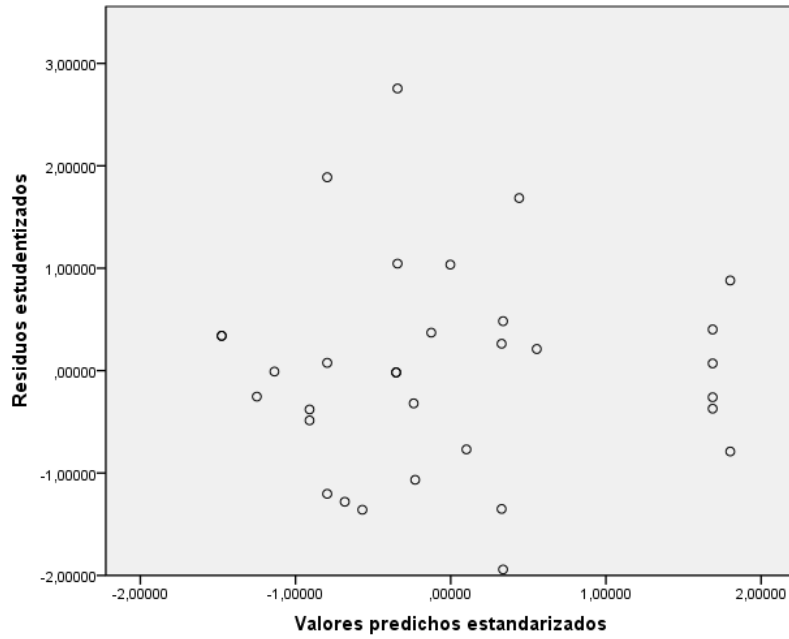


Figura MS16. Residuos estudentizados vs. predichos por el modelo de ciclotimia y educación superior

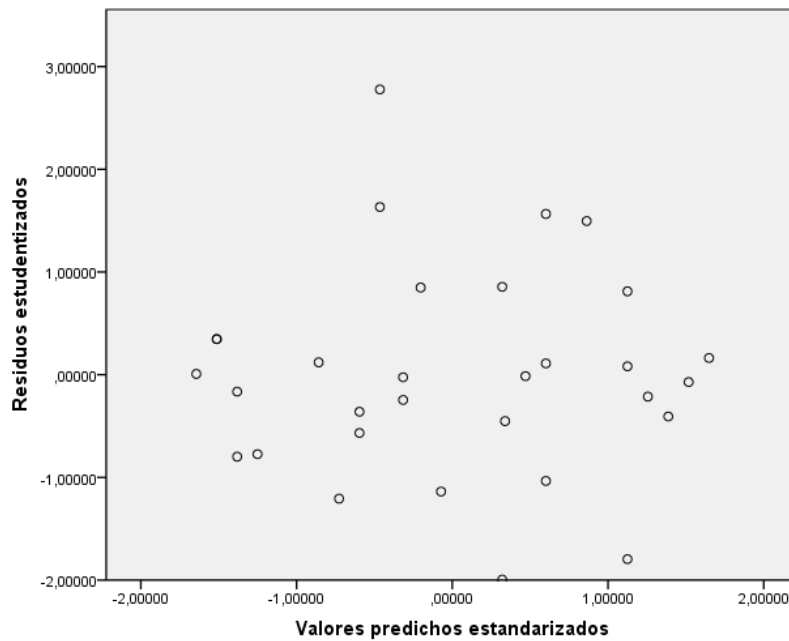
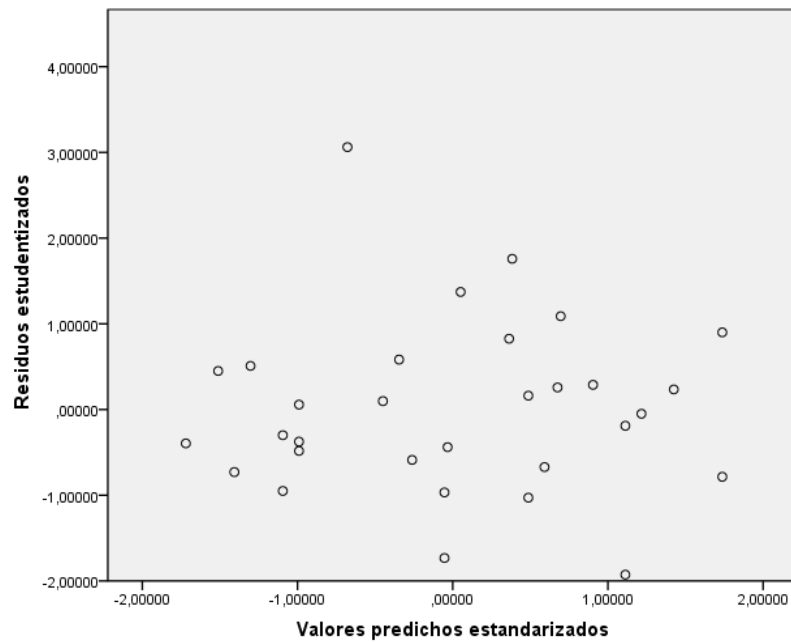


Figura MS17. Residuos estudentizados vs. predichos por el modelo de irritabilidad y educación superior



*Figura MS18.* Residuos estudentizados vs. predichos por el modelo de ansiedad y educación superior

Como puede observarse en los distintos gráficos, se presentan nubes de puntos sin estructura aparente donde los valores se encuentran distribuidos alrededor del valor 0 de los residuos. Estos gráficos sugieren la presencia de normalidad y homocedasticidad de la varianza de los errores.